



中等專業学校教学用書

天 气 学

下 册

O. Г. 克里恰克著



高等 教育 出版 社

中等專業学校教学用書



天 气 学
下 册

O. Г. 克里恰克著
李琼芝 張杏珍合譯

高等教 育 出 版 社

本書系根据苏联水文气象出版社(Гидрометеонадат)出版的克里恰克(O. Г. Кричак)著的“天气学”(Синоптическая Метеорология)一書的1956年版譯出的，原書曾經苏联部长會議水文气象总局审定作为中等水文气象学校用的教学参考書。

原書共16章，中譯本暫分兩册出版，下册包括第九至第十六章，另有附录一則。

本書譯者是李璇芝、張杏珍同志。

天 气 学

下 册

O. Г. 克里恰克著

李璇芝 張杏珍合譯

高等教育出版社出版 北京宣武門內承恩寺7号

(北京市書刊出版業審查證字第061号)

京華印書局印刷 新華書店發行

第一册号13010·516开本550×1168 1/16 印张9 1/2 / 16开页1
字数236,000 印数0001—2,500 定价(1)半1.10
1959年2月第1册 1959年2月北京第1次印制

下册目录

第九章 鋒和鋒區	231
§ 66. 大氣鋒	231
§ 67. 鋒是一個能量區	235
§ 68. 關於鋒生和鋒消的概念	236
§ 69. 界面的坡度	239
§ 70. 鋒區內氣壓和風的分布	243
§ 71. 地面摩擦作用和鋒面坡形	248
§ 72. 暖鋒雲系和天氣	249
§ 73. 寒鋒雲系和天氣	256
§ 74. 鋒的高空溫壓場	265
§ 75. 鋒區內風隨高度的變化	267
§ 76. 鋒區內鉛直方向上的平均溫度場	271
§ 77. 高空鋒區	273
§ 78. 鋒的移動	276
§ 79. 鉛直剖面圖是分析鋒結構的工具	280
§ 80. 地形對大氣鋒的影響	287
§ 81. 鋒表現的特殊形式	292
§ 82. 高空行星鋒區	296
第十章 大氣壓力的變化	300
§ 83. 平均高度層	301
§ 84. 氣壓的熱力變化	303
§ 85. 地轉平流對氣壓變化的影响	303
§ 86. 引導氣流	308
§ 87. 非地轉熱力平流對氣壓變化的影响	309
§ 88. 濕度的非平流變化對氣壓變化的影响	311
§ 89. 關於濕度的概念及其在大氣中的運用	312
§ 90. 在平均高度層上的氣壓變化	318
§ 91. 下表面的摩擦作用對地面氣壓變化的影响	324
§ 92. 關於地面氣壓变化的一般概念	326
第十一章 氣旋	328
§ 93. 氣旋形成的一般條件	328

§ 94. 气旋的發展	330
§ 95. 鋒上的波	338
§ 96. 气旋准锢囚鋒	339
§ 97. 气旋的移动	349
§ 98. 气旋內的天气和飞行条件	351
§ 99. 气旋的再生	355
§ 100. 气旋群, 中心气旋	358
第十二章 反气旋	361
§ 101. 反气旋的分类	361
§ 102. 反气旋的發展	364
§ 103. 反气旋內的鋒, 反气旋的再生	369
§ 104. 反气旋內的各种逆溫	371
§ 105. 反气旋的移动	373
§ 106. 反气旋內的天气和飞行条件	376
第十三章 气旋活動和反气旋活動	379
§ 107. 高空变形場及其轉變	379
§ 108. 山脊对气压系統的影响	383
§ 109. 气旋和反气旋在欧洲的移动路徑	385
§ 110. 在苏联东部气旋和反气旋的移动路徑	387
§ 111. 典型大气过程的概念	390
§ 112. 某些环流過程的温压場条件	390
§ 113. 罩囚鋒轉變为上鋒	414
§ 114. 气候鋒	415
§ 115. 大型大气环流的某些特征	419
§ 116. 热帶气旋	427
§ 117. 气旋活動和对流層頂	432
第十四章 天气形势的分析和預报	438
§ 118. 天气分析的基本原則	439
§ 119. 鋒的分析	444
§ 120. 确定气象要素的平流变化和非平流变化	448
§ 121. 計算空气运动的鉛直分速	451
§ 122. 湿度圖的繪制和分析	454
§ 123. 溫度和濕度層結变化的預报	456
§ 124. 各种天气系統移动情形的和气压变化的直綫外推法与曲綫外推法	458
§ 125. 等变压綫方法的概念	461
§ 126. 天气形势的預报	463
§ 127. 未来天气形势圖的繪制	464
第十五章 天气預报	470

§ 128. 短期天气预报的种类	470
§ 129. 预报云的实用原则	471
§ 130. 云底高度的预报	475
§ 131. *云顶高度的判断和预报	478
§ 132. 连续性降水的预报	481
§ 133. 陣性降水和雷暴的预报	485
§ 134. 风的预报	491
§ 135. 温度的预报	496
§ 136. 霜冻预报	500
§ 137. 雾的预报	508
§ 138. 雪暴的预报	510
§ 139. 能见度的预报	512
§ 140. 雨淞和积冰的预报	518
§ 141. 根据地方性征兆预报天气	518
第十六章 中长期天气预报	519
§ 142. 预报所需的资料及大气过程的图解方法	520
§ 143. 大气过程类型的划分及长期预报	525
§ 144. 自然天气周期	530
§ 145. 确定自然天气周期的界限	532
§ 146. 自然天气周期的天气预报和三天预报	534
§ 147. 一季和一月的预报	536
附录 温度-对数压力图解	

米到几千米，直到对流层的上层。锋的长度也相当于气团的水平范围，也就是说可从几百千米到几千千米。

在地面天气图上，只能用铅笔画一条线来表示锋，因为对天气图的比例尺来说，锋区的宽度很小。

分隔两个气团（其中一个是较暖的气团，另一个是较冷的气团）的锋面的位置，总是呈倾斜状态。因而冷空气位于锋面下面，暖空气位于锋面上面（图 112）。在每一气团内部，水平温度梯度比较小，它在 100 千米距离上很少超过 1—2 度。而在锋上，温度的变化可以达到 10° 或

10° 以上。锋在低层的宽度仅达到几十千米，可见锋区内水平温度梯度约为同性质

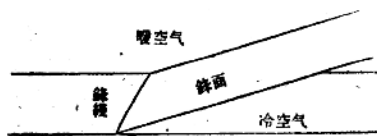


图 112. 锋面在空间的位置。

气团内的 10 倍。因此，锋通过某一站时，各种气象要素就会有剧烈的变化，锋过境后，测站又位于同一性质气团的内部，各种气象要素的变化又比较缓慢了。

如果在锋附近的气流的方向是平行于锋线的话，那末此时锋既不向冷空气方面移动，也不向暖空气方面移动。这种锋称为静止锋。如果在锋附近气流的方向带有垂直于锋的分速，那末锋也就向垂直于自己的方向移动。如果锋是向冷空气方面移动，也就是冷空气让位给暖空气，那末这种锋称为暖锋 ($T\Phi$)。如果锋是向暖空气方面移动（也就是从冷空气方面向暖空气方向移动），那末这种锋称为冷锋 ($X\Phi$)。

在天气图上，锋是用多种颜色或者是用同种颜色不同线条形状表示的。采用多种颜色表示时，暖锋是用红铅笔、冷锋是用蓝铅笔、静止锋是用红蓝铅笔双线画出，而且红色在暖空气一面，蓝色在冷空气一面。在工作天气图上，锋就是这样表示的。在印刷品

(書刊和天气会商表)中,圖通常只用一种顏色鉛印。此时,鋒是用黑色齒狀綫條表示〔暖鋒用圓齒狀綫條表示,冷鋒用尖齒狀綫條表示(圖 113)〕。齒形必須朝向鋒移动的方向;暖鋒的齒形朝向冷空氣方向,冷鋒的齒形朝向暖空氣方向,靜止鋒是用圓齒形和尖齒形配起来表示,圓齒形朝向冷空氣方面,尖齒形朝向暖空氣方面。

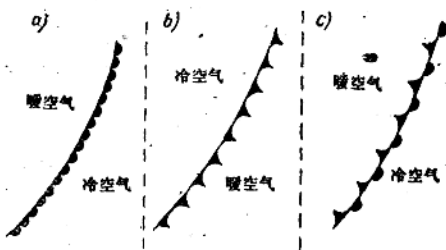


圖 113. 在一色刊物中鋒的表示:

a - 暖鋒; b - 冷鋒; c - 靜止鋒。

同一条鋒的各段可以向不同方面移动,也就是說,鋒在这段上是暖鋒,而在另一段上是冷鋒。

鋒面的坡度角,即地平面与鋒面之間的夾角非常小,平均只有几秒或几分(以度为單位)。这一角的正切平均約等于 $1/100$,在个别情况下,它的数值可从 $1/50$ 到 $1/300$ 。这就是說,如果鋒的坡度为 $1/100$,那末鋒的傾斜面上高 1 千米处距鋒線的水平距离当为 100 千米,而高 5 千米处距鋒線的水平距离当为 500 千米。为了理解这一角度的大小,可以在桌上量定 1 米的距离,并用綫把二端拉紧,使得一端紧貼桌面,而另一端抬起离桌 1 厘米。綫与桌面之間的角度即近似于鋒的坡度角。預報員应随时記住大气鋒实际的坡度角的大小,因为在模式上画出来的角度通常都是比較大的,这些教學上用的模式,能造成歪曲实况的概念。現举一个例子:如果暖鋒呈西南东北走向,它的近地部分位于莫斯科附近。那末鋒

面上高达 6.5—7.0 千米的地方，就应位于列宁格勒上空（莫斯科距列宁格勒约为 650 千米。）

按暖空气铅直运动（滑行）的性质，锋还可分为两种。暖空气在锋面上上滑的锋称为滑上锋，暖空气下滑的锋称为滑下锋。

依照锋在空间向上伸展的程度来区分它们，在实用上比较重要。从这一点来看，锋可分为地面锋和对流层锋两种。地面锋仅在低层 1—2 千米高度内出现，而对流层锋能在相当高的高度内出现。根据叔碧恩统计的数据，对流层锋有 85—90% 达到对流层的上层。把锋分为地面锋和对流层锋，不应认为地面锋对天气变化的作用比较小。恰恰相反，地面锋常造成低云、雾及坏能见度的天气，因此分析它们也要象分析对流层锋一样谨慎。

气团可按地理分类，因此分隔这些气团的锋也可按地理分类。分隔按地理分类的主要气团的锋称为主锋。地理分类的四个主要气团之间有三条主锋。它们的名称相当于较冷气团的地理名称。比如说，冰洋空气与中纬度空气之间为冰洋锋。中纬度空气（以前叫做极地空气）与热带空气之间为极锋（中纬度锋）。热带空气与赤道空气之间为热带锋。在苏联的纬度上，热带锋不会在地面附近出现，只能在对流层上层出现，而且仅仅是出现在最南的地区。每一条主锋的这一段可能是暖锋，另一段可能是冷锋，要看这段锋是往哪一方面移动而定。

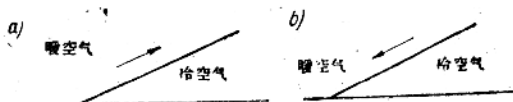


圖 114. 滑上锋 (a) 和滑下锋 (b) 的模式。

主锋的特点就是有最大的水平温度梯度，因为从这一气团过渡到另一气团，在很短的距离上温度有着很大的差异。但水平温

度梯度有时在同一气团范围内也能增大，那时锋就产生在气团内部。产生在气团内部的锋为了区别于不同气团间形成的主锋，称之为付锋。通常遇到的是副冷锋（付冷锋就是锋后有更冷的气块下来），付暖锋很少见到（它主要是出现在付冷锋向相反方面运动的地段上）。主锋能伸展到对流层上部，付锋仅出现在低层1—3千米高度。

§ 67. 锋是一个能量区

锋是一个重要的有大量能量储藏的区域。为了说明这一点，我们应用环流原理来研究锋面条件，也就是用图示方法来讨论锋区内的热力学管场。为了讨论简便起见，我们用等温面（温度 T 相等的面）和等熵面（位温 Θ 相等的面）来代替等压面和等比容面。这样代替是可以的，因为温度和位温与压力和比容成函数关系，也就是说，直接由这两个数决定。它们随高度的变化是相似的： T 和 P 随高度降低； Θ 和 v 随高度增加。现在我们就来研究锋区内 T 面和 Θ 面的配置（图115）。

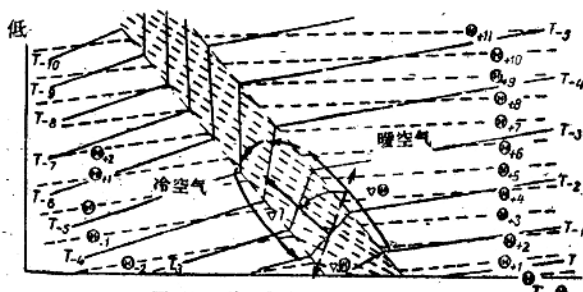


图 115. 锋区内的热力学管场。

暖空气中某一数值的等温面的位置，要比冷空气中同数值的等温面高，而暖空气中等熵面的位置，要比冷空气中同数值的等熵面低。在冷暖气团内，这些面并不完全是水平的，而是有某些倾斜

(尽管不明显)的。这就說明，在同性質氣團內 T 和 Θ 的水乎梯度并不等于零。而在 T 和 Θ 在水平方向上变化最大的鋒區內，这些面最傾斜。这里 T 和 Θ 各個面相交得特別明顯，形成熱力力管。鋒區內熱力力管的集中，表示在它內部能量儲藏很多。这种大量能量的儲藏是由兩個氣團的溫度差異所造成的。这就是說，鋒是一個能量區，它對大氣環流的發展有着重要的意義。

緊靠鋒附近的力管場，引起了一定程度的環流。環流的方向是按 T 和 Θ 梯度的相互分布而定的。因为環流的方向相當于從位溫升度($-\nabla\Theta$)到溫度梯度(∇T)的運動，因此在每條鋒附近，暖空氣內必產生上升運動，冷空氣內必產生下沉運動。 T 和 Θ 的梯度愈大，力管也就愈集中，即在鋒的切面的單位面積上力管數量也就愈多。力管的集中決定了鋒區內空氣環流的加速度。除了這些原因以外，還有其他原因決定著空氣運動的垂直分速。鋒的熱力力管場或者是促成這一運動，或者是阻碍這一運動。例如，在滑上鋒區內，力管場使空氣上升運動加強，在滑下鋒區內，暖空氣的下沉運動必須要克服力學場的作用，因此鋒上暖空氣的下沉運動通常要比上升運動弱。

§ 68. **關於鋒生和鋒消的概念**

鋒是一個水平溫度梯度值增大的狹窄區，它並不是永久不變的。有時有鋒形成，稱為鋒生；有時也有鋒消失，稱為鋒消。

在曲線等壓綫中，鋒生現象表現得很明顯。圖 116 上左邊畫有低壓槽，槽內的尖頭表示近地面的速度場。很明顯，槽軸是條輻合綫，在這條綫附近，地面層等溫綫密集，產生鋒生。在高壓脊內(圖的右部)，脊軸是條輻散綫，產生地面鋒消。從這裡可以得出一個重要的結論：等壓綫氣旋性彎曲能促成地面層鋒生。

變形場是一個典型的運動場。在不同條件下，變形場內可能

產生鋒生，也可能產生鋒消。變形場不僅能引起近地面鋒生或鋒消，而且能引起各高度上鋒生或鋒消，只要那裡有它形成。

現在我們來討論

最簡單的收縮軸和展開軸相互垂直的變形場。為了簡便起見，假設場內等溫線是相互平行的直線，它們對收縮軸和展開軸的位置有著重大的意義。設等溫線近似地平行於展開軸（圖 117a）。在這種情況下，沿收縮軸從兩面

來的輻合氣流就能使等溫線互相接近，從而使沿展開軸區域內的溫度梯度增大，並造成鋒生。如果等溫線近似地平行於收縮軸（圖 117b），那末沿展開軸的輻散氣流，使雙曲線點區域內的溫度梯度減小，從而使沿收縮軸的區域產生鋒消。

等溫線的位置很少嚴格地平行於某一軸。通常等溫線與變形場各軸不交成直角。如果考慮溫度的變化僅僅決定於水平運動，那末等溫線不是隨氣流速度移動，而是遵循平流公式[§ 45 中公式(5.19)]移動的。式中以平流角 α [即等溫線與等壓線(等高線)交成的較小的角]的正弦為一個因子。假設變形場中等溫線的分布使得展開軸附近的平流角 α_p 小於 45° （圖 117a），那末在收縮軸附近的平流角 α_c 就大於 45° 。結果沿收縮軸的平流（即沿收縮軸等溫線移動的速度）要大於沿展開軸的平流（即等溫線移動的速度），這就造成在雙曲線點區域內等溫線接近的作用比疏開的大，也就



圖 116. 在曲線等壓線中與地面氣流的輻合和輻散：
1—等壓線；2—等溫線；3—流線；4—低壓槽軸；5—高壓脊軸。

是有锋生产生。此时这里等温线不仅仅是相互接近，而且同时转向，接近展开轴的方向。

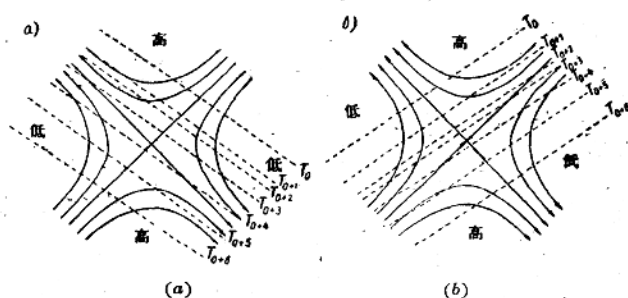


圖 117. 变形場內鋒生(a)和鋒消(b)。

在另一种情况下(圖 117b)，等温线与展开軸所交成的平流角 α_p 大于 45° ，与收縮軸交成的角 α_c 小于 45° 。此时在双曲綫点区域内，等温线沿展开軸移动的速度要比沿收縮軸快。这就使等温线疏开，产生鋒消，此时等温线还会轉向，平流角竭力趋向 45° 。

由此可见，在变形場內展开軸附近平流角小于 45° 时，在双曲綫点区域内就产生鋒生，而大于 45° 时，就产生鋒消。

这里所討論的鋒生和鋒消模式，远远不能包括产生这些过程的各种各样情况。可以这样說，鋒生和鋒消从总的方面来講，也就是水平溫度梯度在时间上的变化，就某一程度言，它們几乎是永远在进行的。

鋒生和鋒消也决定于能使气团溫度改变的其他的因子，在这些因子中特別重要的是鉛直运动和下垫面的热力作用。一般的情况是这样的，如在冷气团内从下面增热，而在暖气团内却从下面冷却，这就会促使鋒面溫度差异减小，但夏天暖气团常繼續受下垫面增热，使鋒加强。由于在二个气团内，鉛直溫度梯度往往小于絕热变化，所以上升着的空气使某一高度上的溫度降低，下沉着的空气

使溫度升高。因此，暖空氣中的上升運動和冷空氣中的下沉運動，使鋒的強度減弱，相反的運動就使鋒加強。

§ 69. 界面的坡度

上面已經講過，不同氣團之間的界面是傾斜地分布着的，而且冷空氣位于界面之下，暖空氣位于界面之上。

鋒面傾斜角與冷暖氣團性質的數學關係，已經由奧地利的氣象學家馬古拉斯確定了。

現在討論的問題是：假定空氣是靜定運動（即它們在作直線運動，沒有加速度和摩擦力作用）。空間的界面是处在左手坐標系^①（圖 118）中，並使這一界面的鋒線的位置平行於Y 軸。設冷空氣內密度為 ρ_1 ，溫度為 T_1 ，風速為 V_1 ；而暖空氣內則相應的為 ρ_2 、 T_2 和 V_2 。我們看直角三角形，它的斜邊就是界面的截面。直角三角形各個角上的氣壓為 p_1 、 p_2 、 p_3

和 p_4 ，而且 p_1 和 p_3 是指位於界面上的二點的數值。因為在這一問題中，把鋒看成為數學上的一個面，即它僅僅是各點組成的一層，因而很顯然，不管從那一面（從暖空氣一面或從冷空氣一面）接近界面，面上這一點的壓力總是同一個數值。因此，不管在暖氣團內還是在冷氣團內 p_1-p_3 之間的氣壓差值將是一樣的。這一條件可寫為

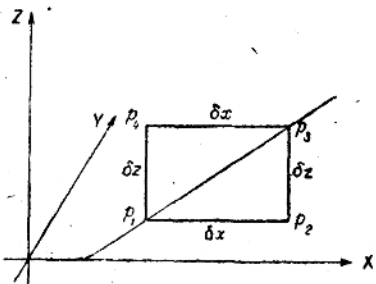


圖 118. 界面傾斜角方程式的推導。

① 从Z軸正端看，如果X軸轉向Y軸是順時針的，則叫空間右手坐標系；如果從X軸轉向Y軸是反時針的，則叫空間左手坐標系。

$$(p_1 - p_3)_{\text{合}} = (p_1 - p_3)_{\text{直}} \quad (9.1)$$

比較詳細的可寫成

$$(r_1 - r_2) + (r_2 - p_3) = (r_1 - p_4) + (p_4 - p_3). \quad (9.2)$$

在所討論的直角三角形中水平邊為 δx , 鉛直邊為 δz 。因为空氣運動的方向是平行于鋒的, 所以水平氣壓梯度平行于 X 軸, 因此也平行于 δx 段。

从地轉風公式中可得

$$\frac{\partial p}{\partial x} = 2\omega V \rho \sin \varphi. \quad (9.3)$$

这一公式可寫成:

$$\left. \begin{aligned} p_1 - p_2 &= 2\omega V_1 \rho_1 \sin \varphi \delta x \\ p_4 - p_3 &= 2\omega V_2 \rho_2 \sin \varphi \delta x \end{aligned} \right\} \quad (9.4)$$

从前面的討論中已經知道, 鉛直方向上氣壓的變化是由靜力方程決定的。這一公式就是

$$\delta p = -g\rho \delta z. \quad (9.5)$$

它在冷暖氣團內分別表示為

$$\left. \begin{aligned} p_2 - p_3 &= -g\rho_1 \delta z \\ p_1 - p_4 &= -g\rho_2 \delta z \end{aligned} \right\} \quad (9.6)$$

把(9.4)和(9.6)代入(9.2), 并把同類項合併, 則得

$$2\omega \sin \varphi (V_1 \rho_1 - V_2 \rho_2) \delta x = g(\rho_1 - \rho_2) \delta z, \quad (9.7)$$

从這裡就獲得了馬古拉斯公式的形式:

$$\operatorname{tg} \alpha = \frac{\delta z}{\delta x} = \frac{3\omega \sin \varphi}{g} \frac{(V_1 \rho_1 - V_2 \rho_2)}{(\rho_1 - \rho_2)}, \quad (9.8)$$

式中 α 為鋒面坡度角。

要是把密度用相應的溫度數值表示, 那末馬古拉斯公式可寫成另一個更為適用的形式。根據門捷列也夫-克拉貝龍(Менделеев-Кларен)公式:

$$\rho_2 = \frac{p_2}{RT_2} \text{ 和 } \rho_1 = \frac{p_1}{RT_1},$$

但因为在锋面上的点, $p_2 = p_1 = p$, 故如将 $\frac{p}{R}$ 用 k 来表示, 则上式可写成:

$$\rho_1 = \frac{k}{T_1} \text{ 和 } \rho_2 = \frac{k}{T_2}. \quad (9.9)$$

把这些数值代入(9.8), 并作简单的改变, 则得:

$$\operatorname{tg} \alpha = \frac{2\omega \sin \varphi}{g} \cdot \frac{V_1 T_2 - V_2 T_1}{T_2 - T_1}, \quad (9.10)$$

或者简写成: $\operatorname{tg} \alpha = \frac{l}{g} \cdot \frac{V_1 T_2 - V_2 T_1}{T_2 - T_1}, \quad (9.11)$

式中 $l = 2\omega \sin \varphi$.

分析馬古拉斯公式, 可以看出, 第一, 如果两个气团内的温度是一样的话($T_2 = T_1$), 那末分母等于零, $\operatorname{tg} \alpha = \infty$, $\alpha = 90^\circ$, 这就是说, 锋面是铅直的, 当二个气团的密度相等时, 就能出现这种情况。第二, 如果速度相等($V_1 = V_2 = V$), 那末公式(9.11)的形式为

$$\operatorname{tg} \alpha = \frac{l}{g} V = \operatorname{tg} \beta,$$

即得出了等压面坡度角的公式。因此在这种情况下, 界面与等压面重合。

赫洛莫夫对纬度 $\varphi = 45^\circ$ 引述了一个例子。按照这个例子, 在

$$T_1 = 273^\circ(0^\circ\text{C}) \text{ 和 } T_2 = 283^\circ(+10^\circ\text{C}),$$

$$V_1 = 20 \text{ 公尺/秒} \text{ 和 } V_2 = 0 \text{ 公尺/秒}$$

时; 利用式(9.11)则得

$$\operatorname{tg} \alpha = \frac{1}{168}, \alpha = 21', \operatorname{tg} \beta_2 = 0, \beta_1 = 0,$$

$$\operatorname{tg} \beta_1 = \frac{1}{4754}, \beta_1 = 0.7'.$$

因此, 在这种情况下, 界面的坡度比等压面的坡度大 29 倍。

表 7 是对緯度 $\varphi = 50^\circ$ 的在不同的原始数据下, 界面坡度的近似数值(根据庫尼茲)。

表 7.

$T_2 - T_1$	$V_1 - V_2$ 公尺/秒							
	5		10		15		20	
	$\operatorname{tg} \alpha$	α						
5°	$\frac{1}{820}$	11	$\frac{1}{160}$	21	$\frac{1}{105}$	32	$\frac{1}{80}$	48
10	$\frac{1}{640}$	6	$\frac{1}{320}$	11	$\frac{1}{215}$	16	$\frac{1}{160}$	21
15	$\frac{1}{960}$	4	$\frac{1}{480}$	7	$\frac{1}{320}$	11	$\frac{1}{240}$	14

从这里可以得出第三个結論, 即溫度差异增大使坡度角减小, 而速度差异增大使坡度角增大, 由于这两个因素不是孤立地作用的, 它們常常是同时起作用的, 即当溫度差异增大时, 速度差异也往往增大, 因此相互間有着一定的补偿, 鋒面的坡度也就改变得不多了。第四个結論是, 馬古拉斯公式指出了鋒面坡度角与緯度的关系。例如, 在赤道 $\varphi = 0$, 坡度角也就等于零, 因此, 那里鋒面实际为一个水平的逆溫層。坡度角随緯度的增高而增大, 当其他条件都相同时, 在極地坡度角最大。

第五个結論是: 由于 $T_2 - T_1$ 总是大于零的, 而 $\operatorname{tg} \alpha$ 也大于零。不是这样的話, 暖空气就不可能比冷空气的溫度高, 因为鋒面总是从地面向上, 而不是从地面向下的。这样就得出 $V_1 T_2 - V_2 T_1 > 0$ 及 $V_1 > V_2$; 在有些情况下, 第一个不等式并不总是成立的。

$V_1 > V_2$ 的关系式有着很重要的意义。我們用例子来加以說明。設平面上各坐标軸的分布如圖 119, 即是左手坐标系。鋒線平行于 Y 軸。設 X 軸指向北, 那末 Y 軸就指向西。假定冷空气內是